

บรรณานุกรม

กรมพัฒนาพลังงานทดแทนและอนุรักษ์พลังงาน. (2552). หลักสูตรการอบรมเทคนิคการประยุกต์ใช้เซลล์แสงอาทิตย์สำหรับประชาชนทั่วไป. ค้นเมื่อ 25 มีนาคม 2553, จาก <http://www.are101.org/book/solarcell-training/02General.pdf>.

การไฟฟ้าฝ่ายผลิตแห่งประเทศไทย. (2552). เซลล์แสงอาทิตย์. ค้นเมื่อ 25 มีนาคม 2553, จาก <http://www2.egat.co.th/re/solarcell/solarcell.htm>.

จิตเกشم พัฒนาศิริ. (2539). เริ่มสร้างໂຢມເພຈດ້ວຍ HTML. กรุงเทพฯ: ວິຕຕີກຽບ.

นครินทร์ ศรีปัญญา. (2548). ระบบตรวจสอบแรงดันและอุณหภูมิของเซลล์แสงอาทิตย์บนเครือข่ายอินเตอร์เน็ต. วิทยานิพนธ์ปริญญาครุศาสตรอุดสาಹกรรมมหาบัณฑิตสาขาวิชาวิศวกรรมไฟฟ้า บัณฑิตวิทยาลัย มหาวิทยาลัยเทคโนโลยีพระจอมเกล้าธนบุรี. บัญชา ประสีลະเตสং. (2550). คู่มือการพัฒนาเว็บด้วย PHP5 และ MySQL5. พิมพ์ครั้งที่ 2. กรุงเทพฯ: ທີເອັດຢູ່ເຂົ້ນ.

บางกอกโซลาร์. (2551). ແຜງເเซลລ໌ແສງອາທິດຍໍຂອງບຣີ້ຊັກ บางกอกโซลาร์. ค้นเมื่อ 25 มีนาคม 2553, จาก <http://www.bangkoksolar.com/th/products/detail.php?id=22&SystemModuleKey=product>.

ปราโมทย์ เดชะ野心. (2549). ຮະບັບນິວໃຈເຊີງຕົວເລີຂຶ້ນງານວິຄວາຮົມ. กรุงเทพฯ: ສຳນັກພິມພົ່ງແຫ່ງຈຸພາລົງກຣົນມາວິທາລີ.

พรเทพ ขอขยายເກີຍຣຕີ. (2543). ຄວາມນໍາຈະເປັນແລະສົດຕິວິຄວາຮົມ. ຂອນແກ່ນ: ໂຮງພິມພົ່ງມາວິທາລີຂອນແກ່ນ.

พิศาล พິທຍາຮຸຮົວວັດນີ້. (2551). ຕິດຕັ້ງຮບບໍລິຫານເຄືອຂ່າຍຄອມພິວເຕອີ່ Intranet/Internet ລັບຜູ້ເວັ້ນຕົ້ນ. กรุงเทพฯ: ທີເອັດຢູ່ເຂົ້ນ.

มงคล ทองสุกรรม. (2538). ອີເລີກທອນິກສີເບື້ອງຕົ້ນ. กรุงเทพฯ: ທີເອັດຢູ່ເຂົ້ນ.

มนືໂຈຕີ ສມານໄທຍ. (2548). ການພິຈາລະນາ HTML ລັບຜູ້ເວັ້ນຕົ້ນ. กรุงเทพฯ: ໄອດີເຊີ ອິນໂຟ ດິສທຣີບິວເຕອີ່ ເຊັ່ນເຕອີ່.

รัชนา อືນຖາສ. (2545). ການອອກແບບຂ່າຍງານຂໍ້ມູນ. กรุงเทพฯ: ສິ່ງເສີມເທົ່າໂລຍື(ໄທຍ-ຝູ່ປຸ່ນ).

ວັນຊີຍ ແຊ່ເຕີຍ ແລະ ສີທີ່ຊີຍ ປະສານວົງສ. (2542). ສ້າງເວັບເພີ້ງດ້ວຍ HTML4. กรุงเทพฯ: ທີ່ອົບເປົວ.

สถาบันราชภัฏจันทร์ເກມ. (2550). ຮະບັບສມາຕຽບຮູ້. ค้นเมื่อ 25 มีนาคม 2553, จาก <http://e-learningonline.net63.net/u4c2.html>.

สุวัฒน์ ปุณณชัยยะ, ตัน ตันทีสุทธิวงศ์ และ สุพจน์ ปุณณชัยยะ. (2545). เปิดโลกของ TCP/IP และโปรโตคอลของอินเตอร์เน็ต. กรุงเทพฯ: โปรดิชั่น.

Benghanem, M. (2009). Measurement of meteorological data based on wireless data acquisition system monitoring. **Applied Energy**, **86**(12), 2651–2660.

Benghanem, M., and Maafi, A. (1997). Data Acquisition System for Photovoltaic Systems Performance Monitoring. **IEEE Instrumentation and Measurement Technology**, **47**(1), 30–33.

Allregro. (2006). **Datasheet ACS712**. Retrieved May 15, 2010, from :

www.allegromicro.com/en/products/part_Numbers/0712/0712.pdf.

National Semiconductor. (1995). **Datasheet LM35**. Retrieved May 15, 2010, from:

<http://www.alldatasheet.com/datasheet-pdf/pdf/8866/NSC/LM35.html>.

Dirks, E., Gole, A. M., and Molinski, T. S. (2006). Performance Evaluation of a Building Integrated Photovoltaic Array using an Internet Based Monitoring System. **IEEE Instrumentation and Measurement Technology**, **13**(1), 1030–1033.

Jan, M., and Zdenek, P. (2007). System for Measuring and Collecting Data from Solar-cell Systems. **International Conference Electrical Power Quality and Utilisation**, **9**, 1–4.

Kostas, P., Eftichios, K., and Kostas, K. (2005). A server database system for remote monitoring and operational evaluation of renewable energy sources plants. **Renewable Energy**, **30**, 1649–1669.

Labview. (2007). **Labview-help**. Retrieved May 19, 2010, from :

www.rmuti.ac.th/user/nopparat/.../pdf/Labview/referenceguide.pdf.

Stefan, K. (2006). **Solar Electric Power Generation Photovoltaic Energy Systems**. Netherlands: Springer.

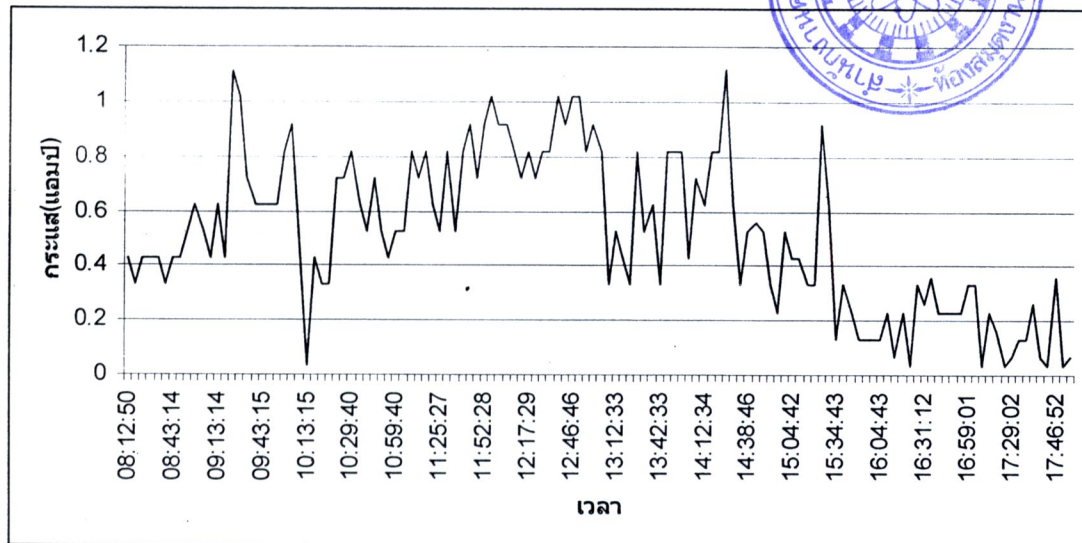
Wlodzimierz, K. (2006). Efficient Data Analysis with Modern Analytical System Developed for Use in Photovoltaic (PV) Monitoring System. **International Students and Young Scientists Workshop Photonics and Microsystems**, **1**, 26–29.

Won-Suk, J., William, M. H., and Miroslaw, J. S. (2008). Wireless sensor networks as part of a web-based building environmental monitoring system. **Automation in Construction**, **17**, 729–736.

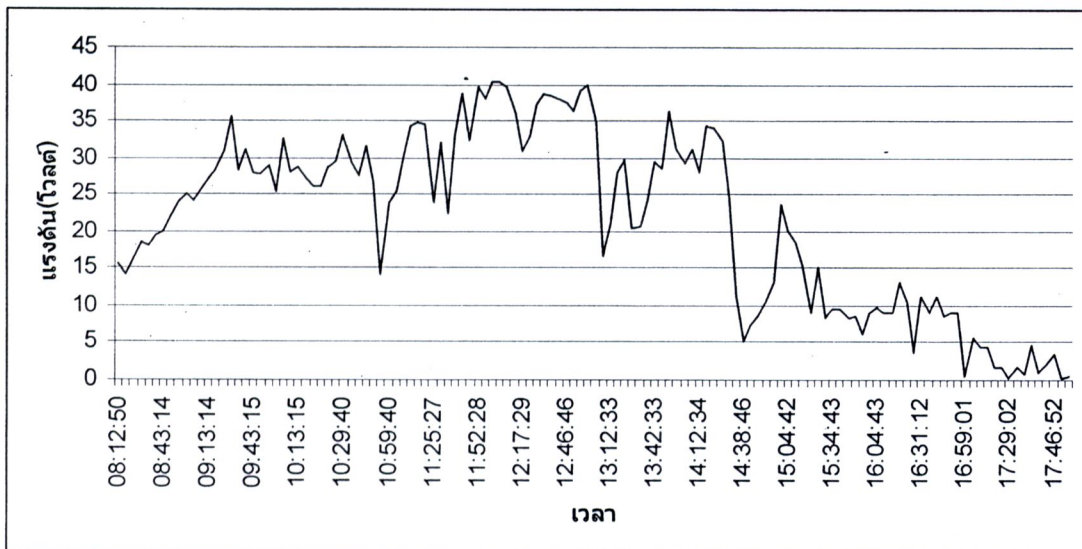
ภาคผนวก

ภาคผนวก ก

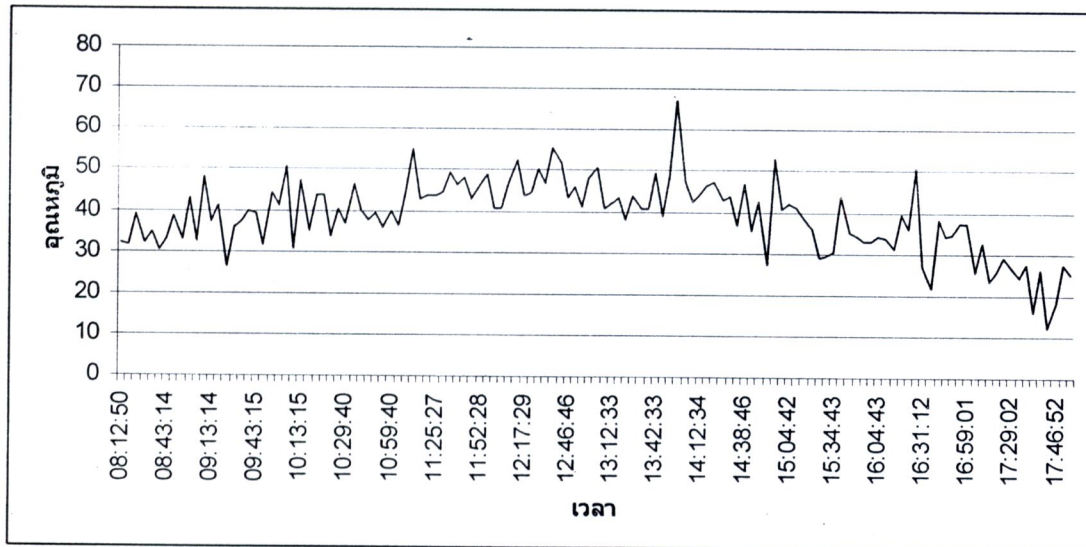
ผลการบันทึกข้อมูล(แรงดัน กระแส และอุณหภูมิ)



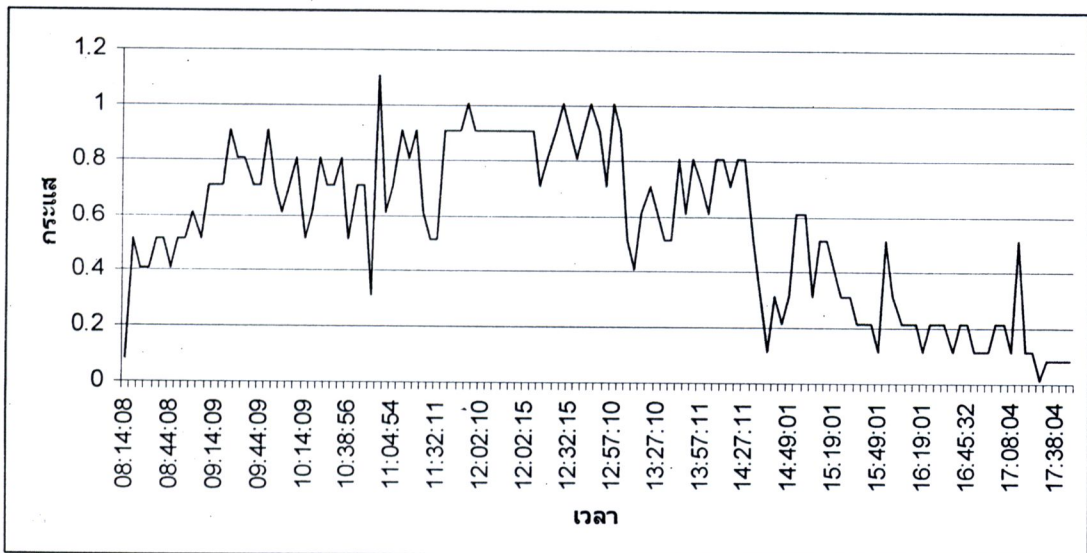
ภาพที่ ก.1 ผลการบันทึกกระแสเซลล์ส่งอาทิตย์แพงที่ 1 วันที่ 15 มกราคม 2553



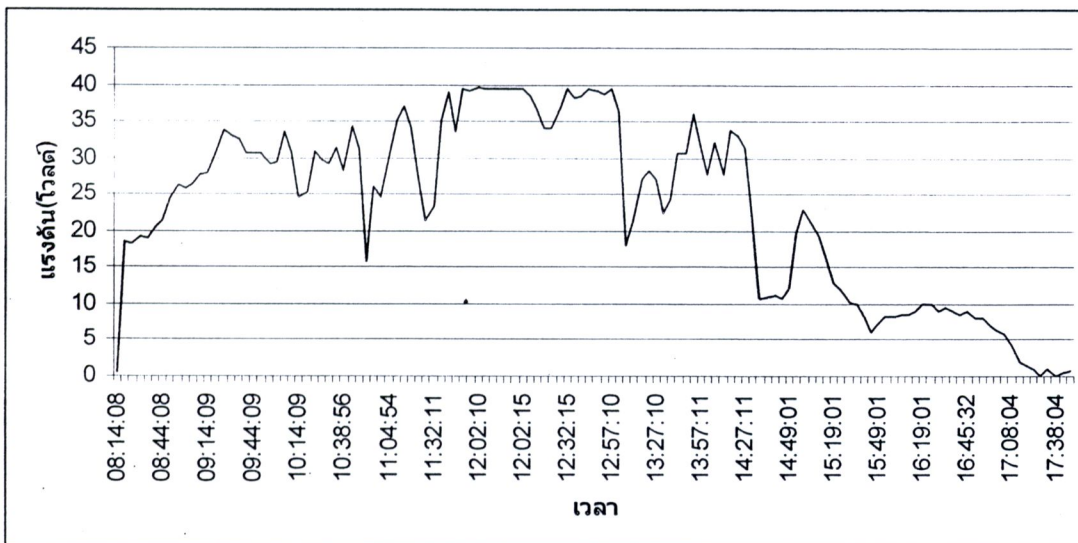
ภาพที่ ก.2 ผลการบันทึกแรงดันเซลล์ส่งอาทิตย์แพงที่ 1 วันที่ 15 มกราคม 2553



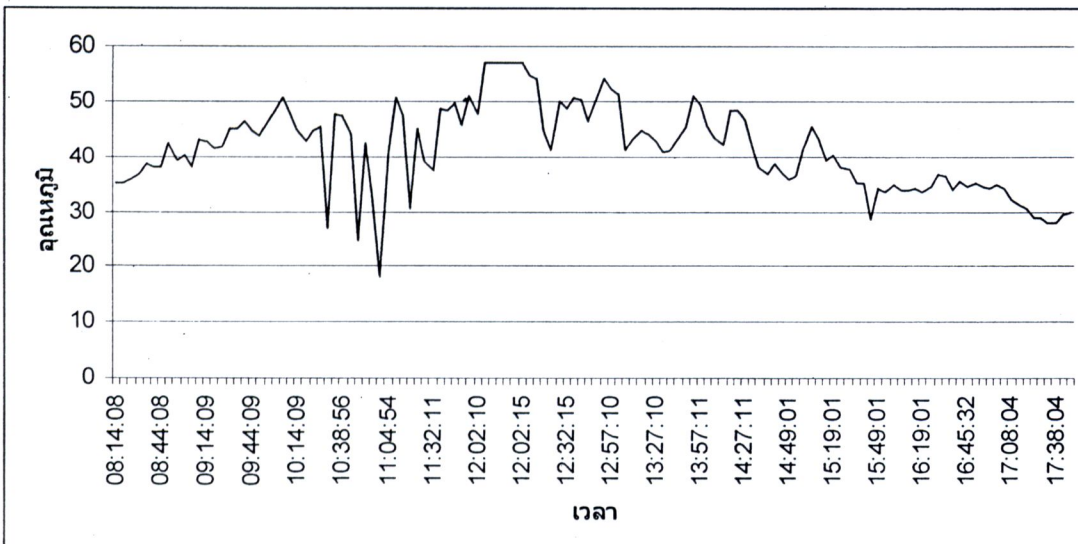
ภาพที่ ก.3 ผลการบันทึกอุณหภูมิเซลล์เสงอาทิตย์แผงที่ 1 วันที่ 15 มกราคม 2553



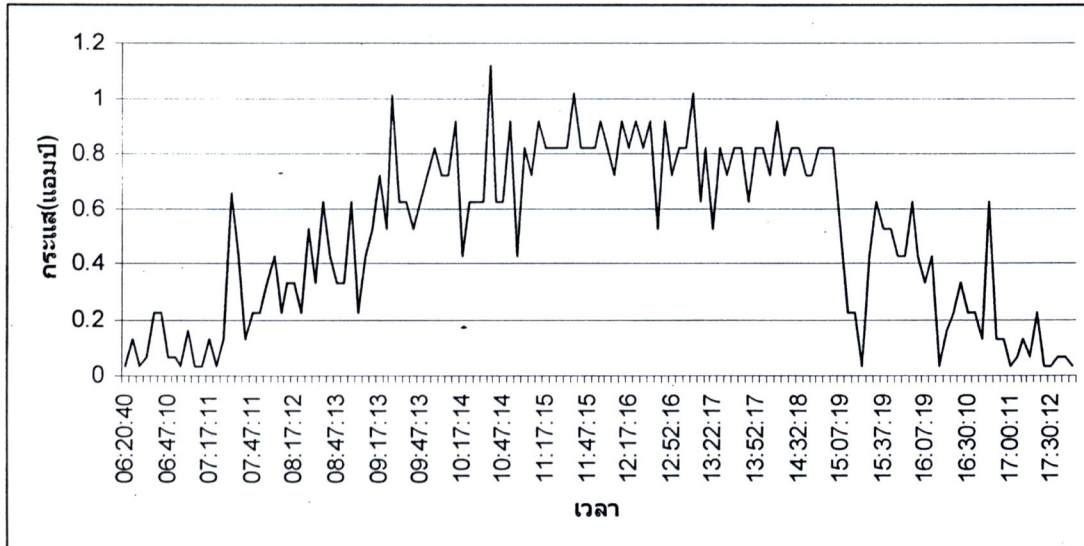
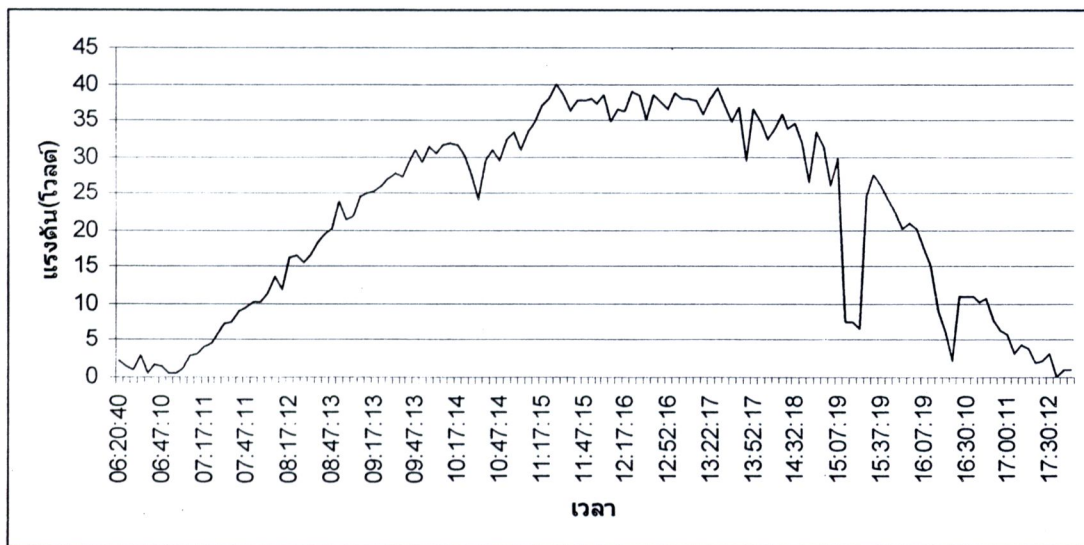
ภาพที่ ก.4 ผลการบันทึกกระแสสัญญาณเสงอาทิตย์แผงที่ 2 วันที่ 15 มกราคม 2553

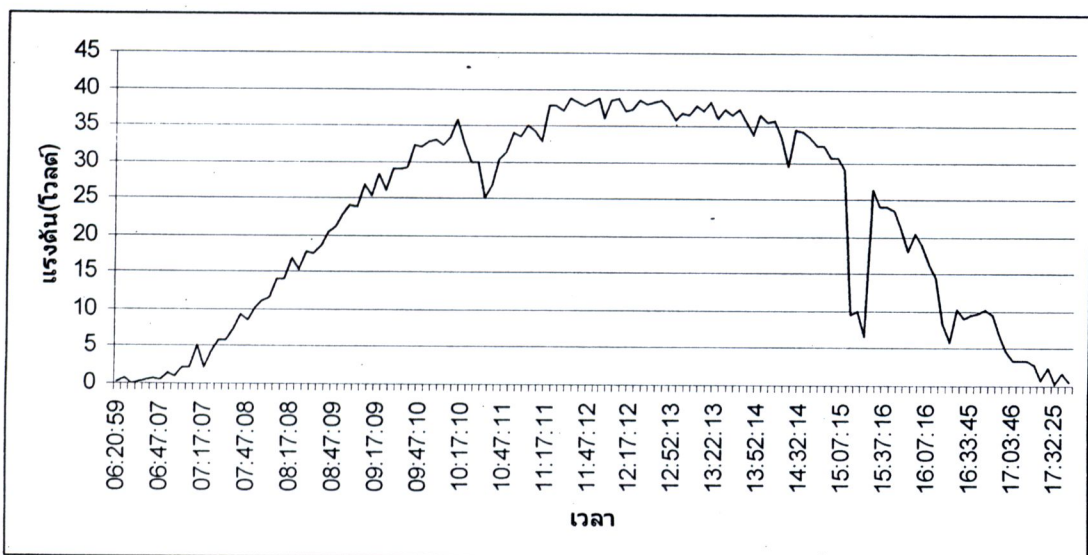
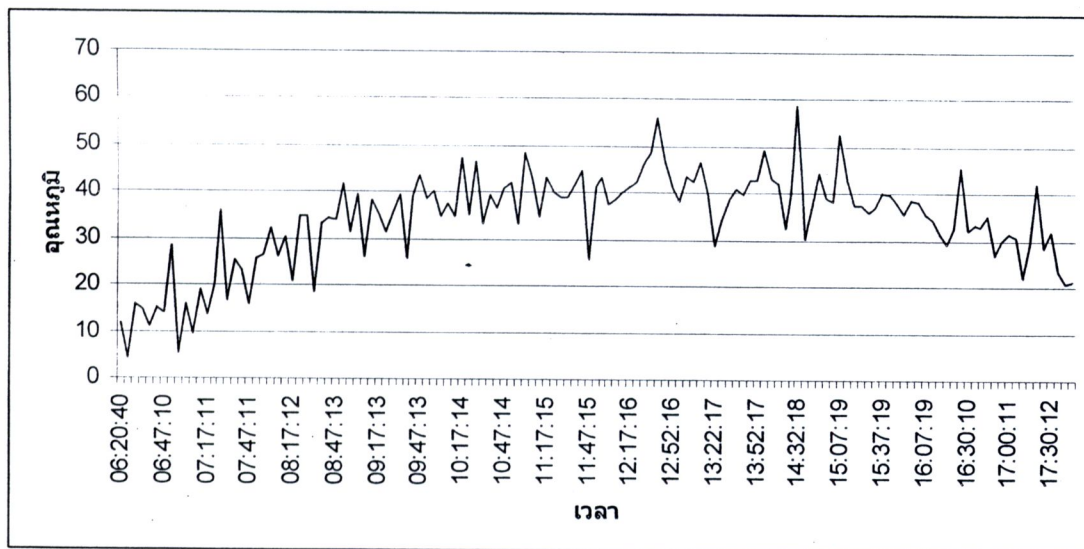


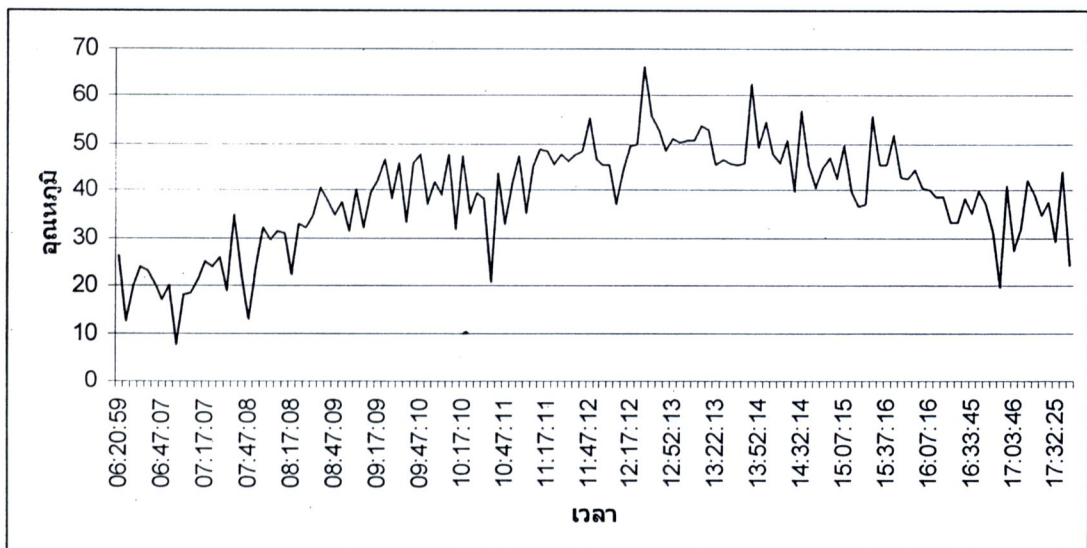
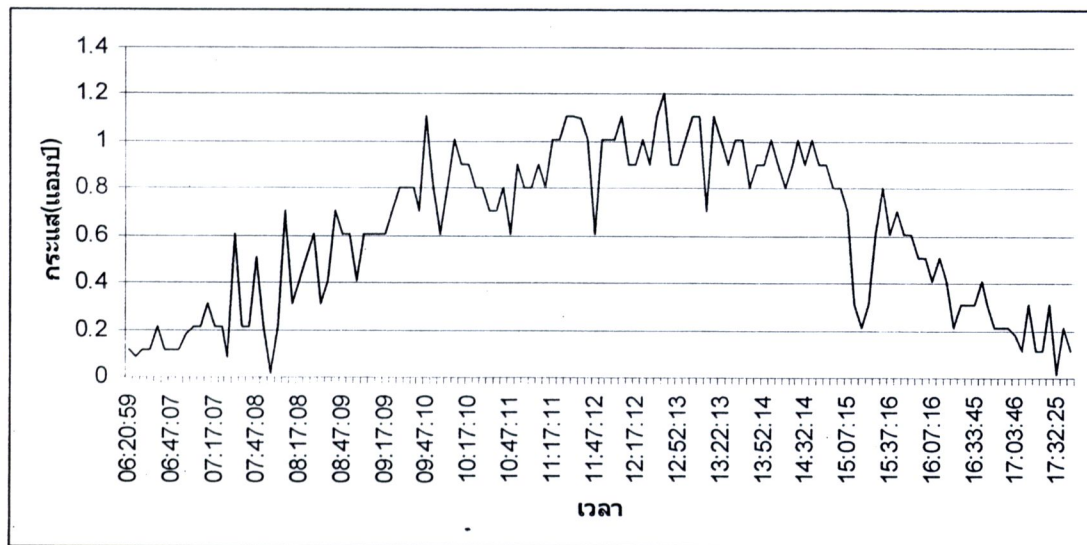
ภาพที่ ก.5 ผลการบันทึกแรเงดันเซลล์แสงอาทิตย์แผงที่ 2 วันที่ 15 มกราคม 2553



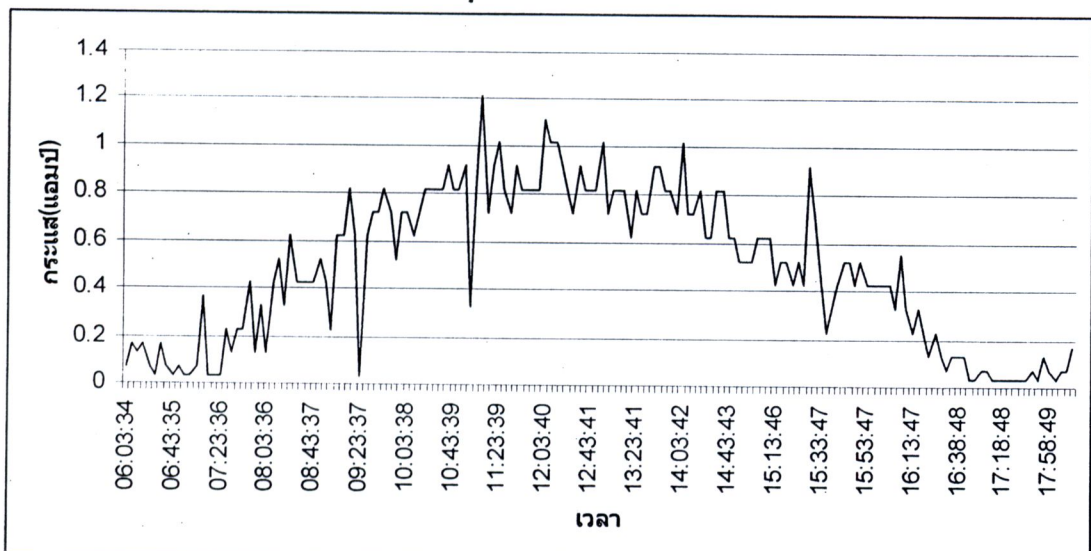
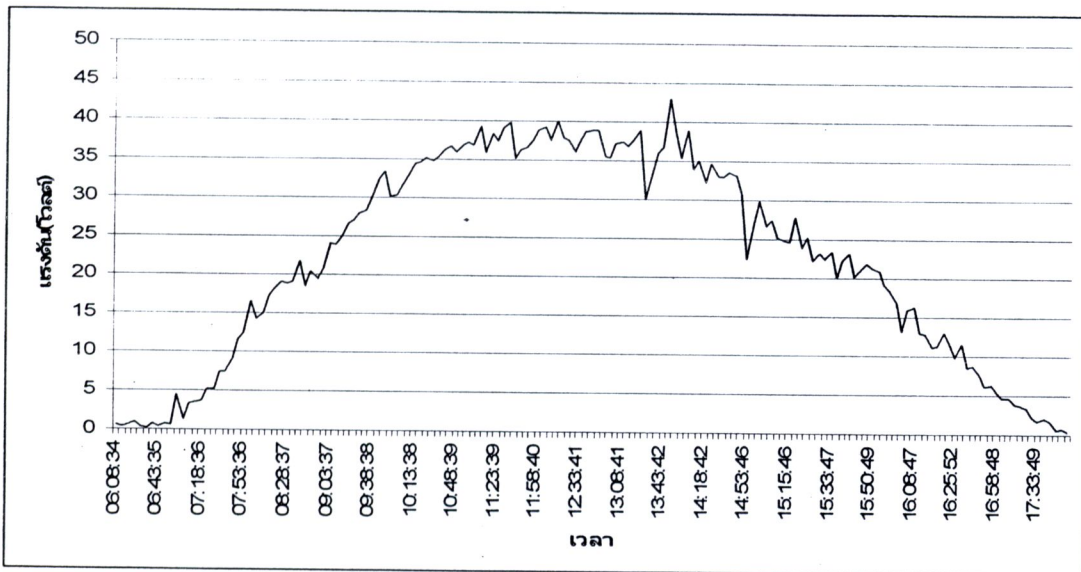
ภาพที่ ก.6 ผลการบันทึกอุณหภูมิเซลล์แสงอาทิตย์แผงที่ 2 วันที่ 15 มกราคม 2553

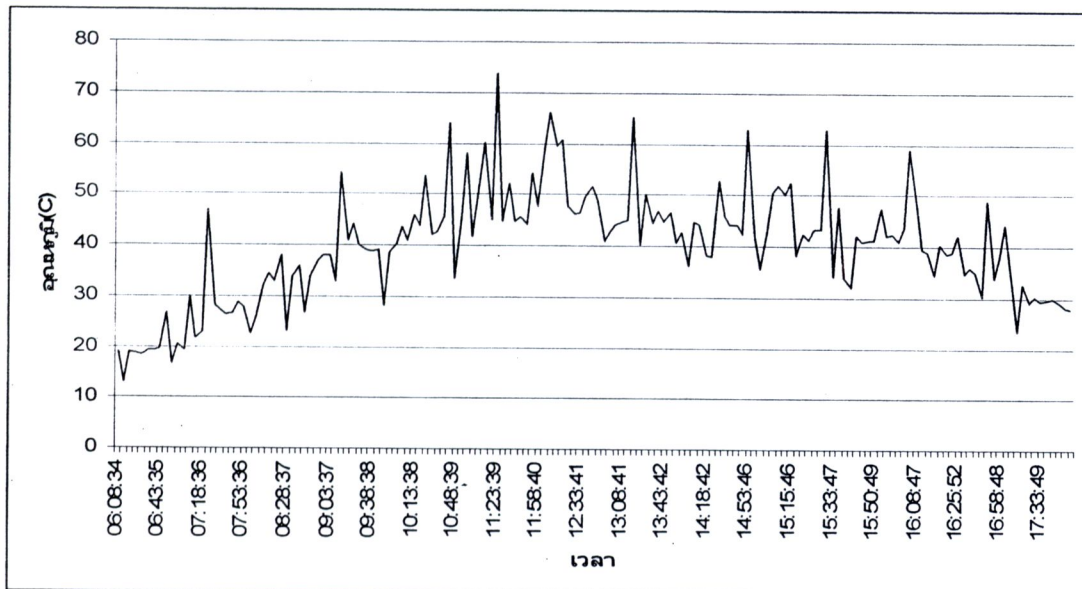




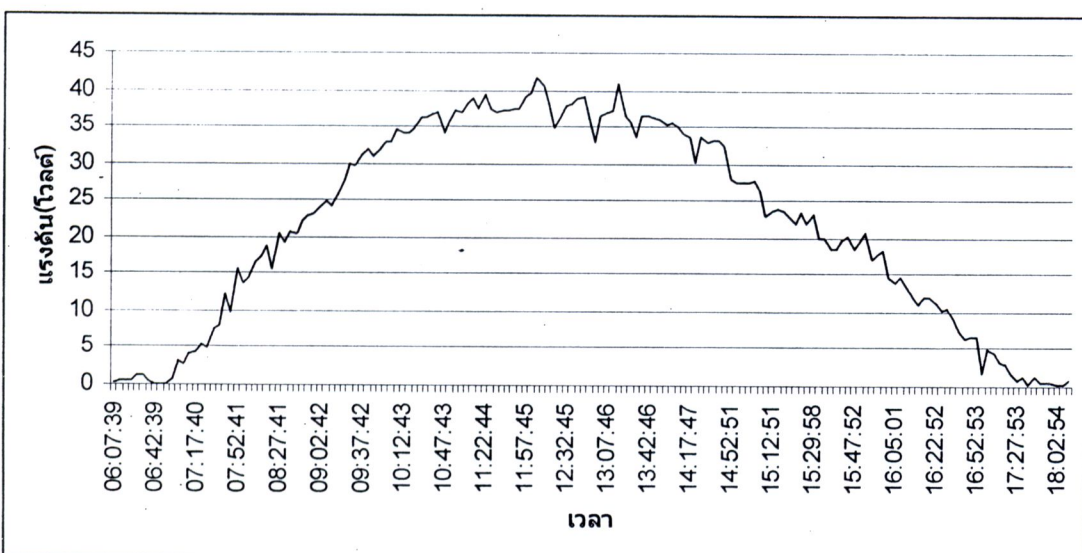


ภาพที่ ก.12 ผลการบันทึกอุณหภูมิเซลล์แสงอาทิตย์แผงที่ 2 วันที่ 18 มกราคม 2553

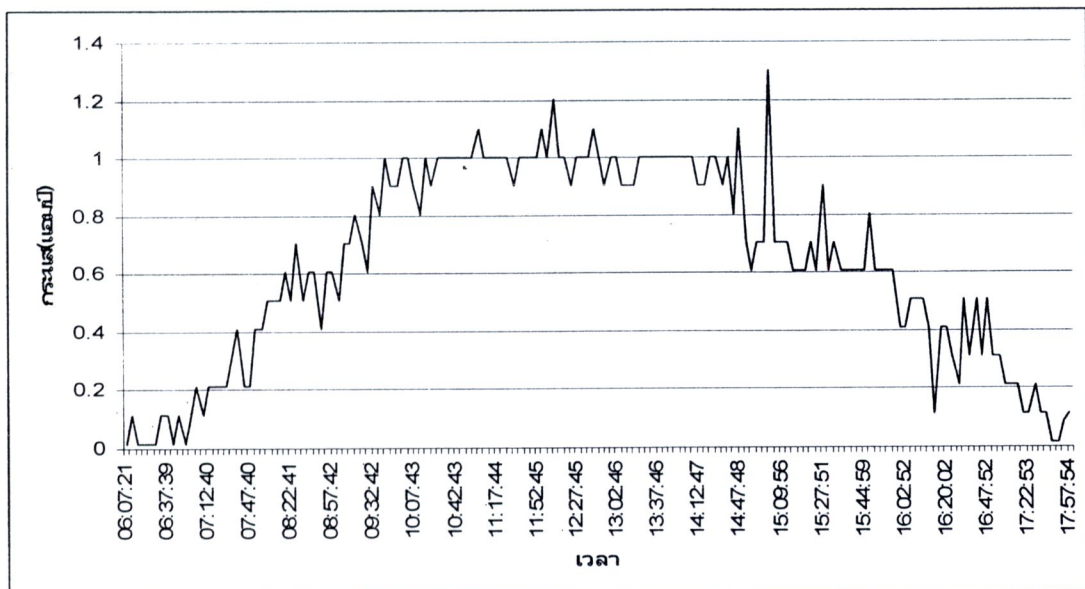




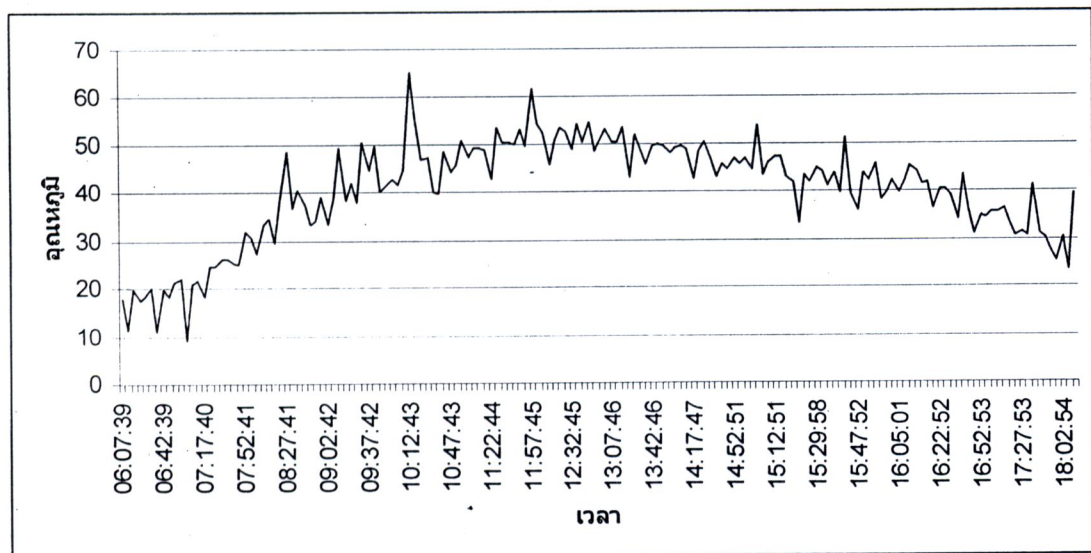
ภาพที่ ก.15 ผลการบันทึกอุณหภูมิเซลล์แสงอาทิตย์แผงที่ 1 วันที่ 19 มกราคม 2553



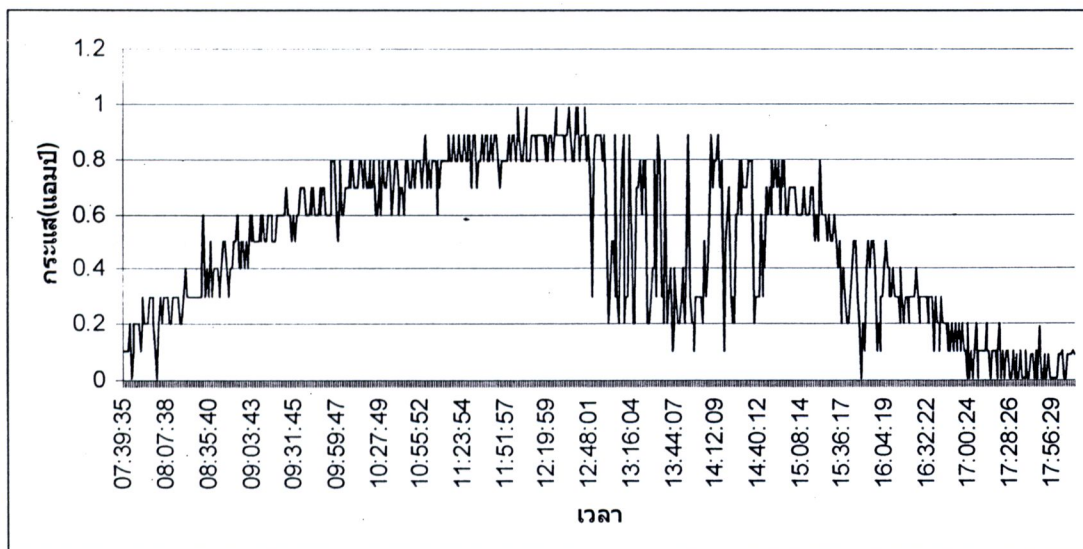
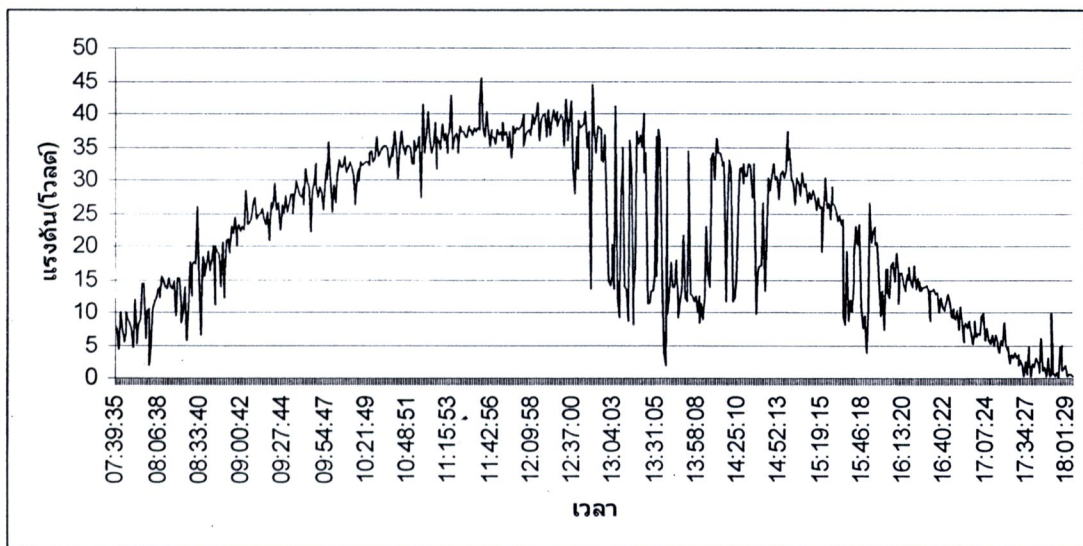
ภาพที่ ก.16 ผลการบันทึกแรงดันเซลล์แสงอาทิตย์แผงที่ 2 วันที่ 19 มกราคม 2553

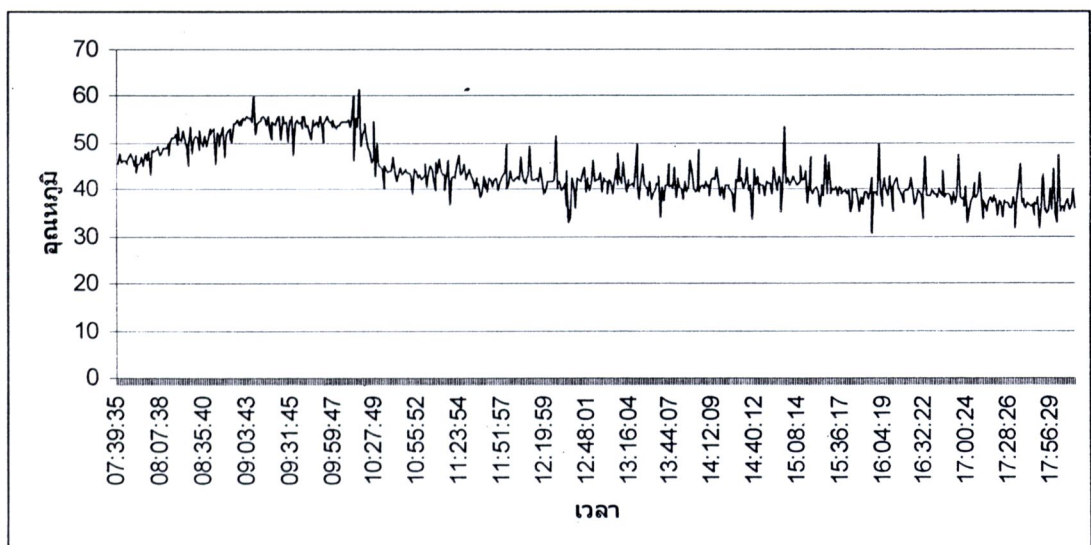


ภาพที่ ก.17 ผลการบันทึกกระแสเซลล์แสงอาทิตย์แผงที่ 2 วันที่ 19 มกราคม 2553

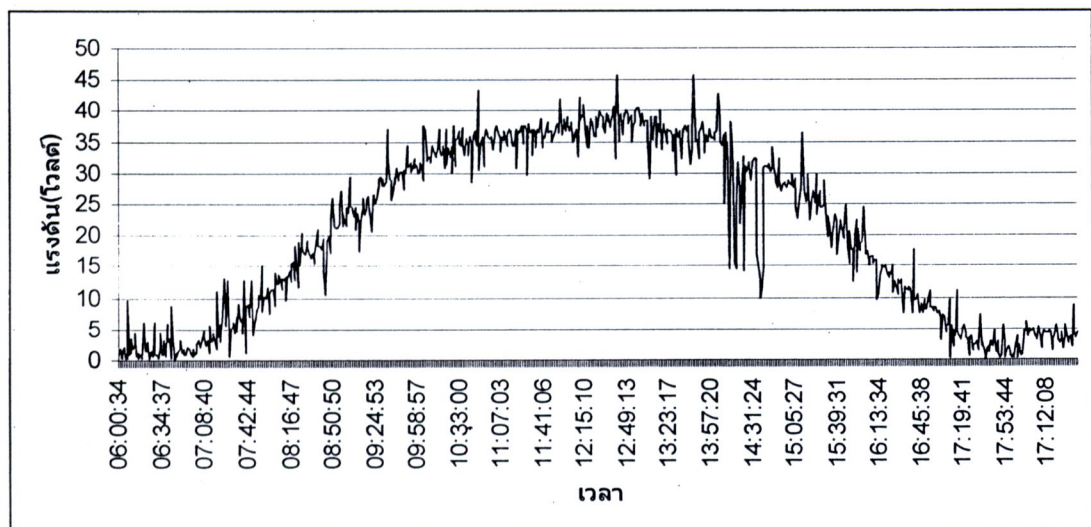


ภาพที่ ก.18 ผลการบันทึกอุณหภูมิเซลล์แสงอาทิตย์แผงที่ 2 วันที่ 19 มกราคม 2553

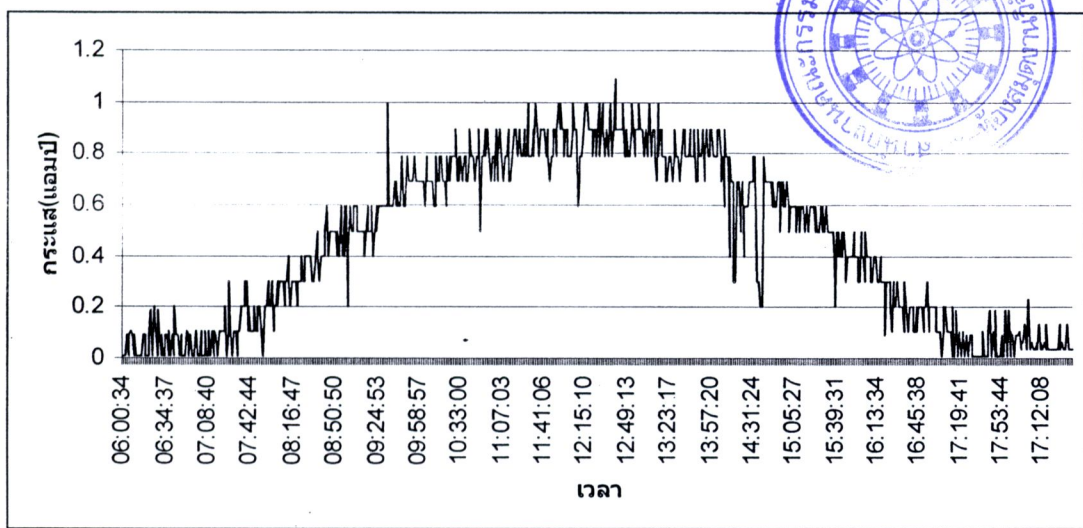




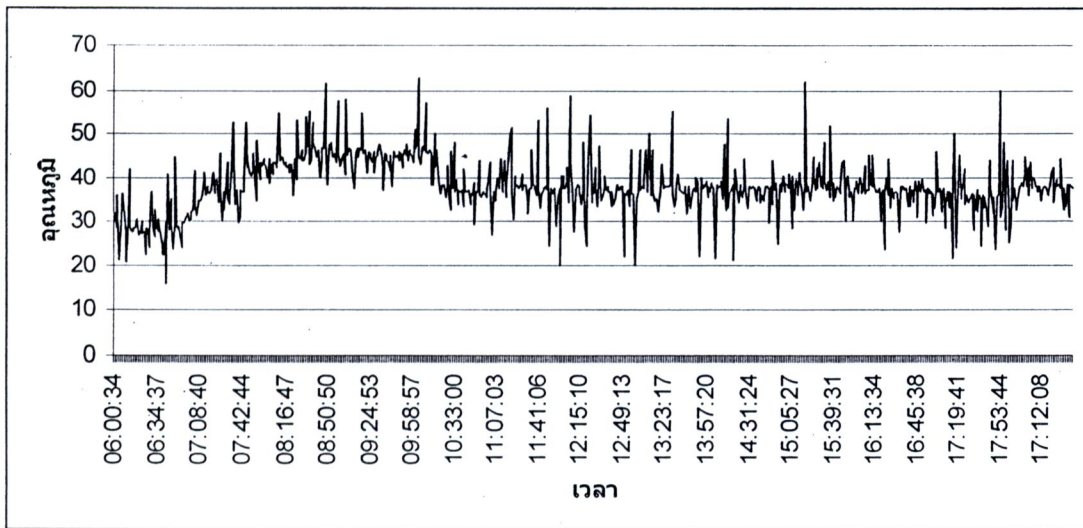
ภาพที่ ก.21 ผลการบันทึกอุณหภูมิเซลล์แสงอาทิตย์แผงที่ 1 วันที่ 10 กุมภาพันธ์ 2553



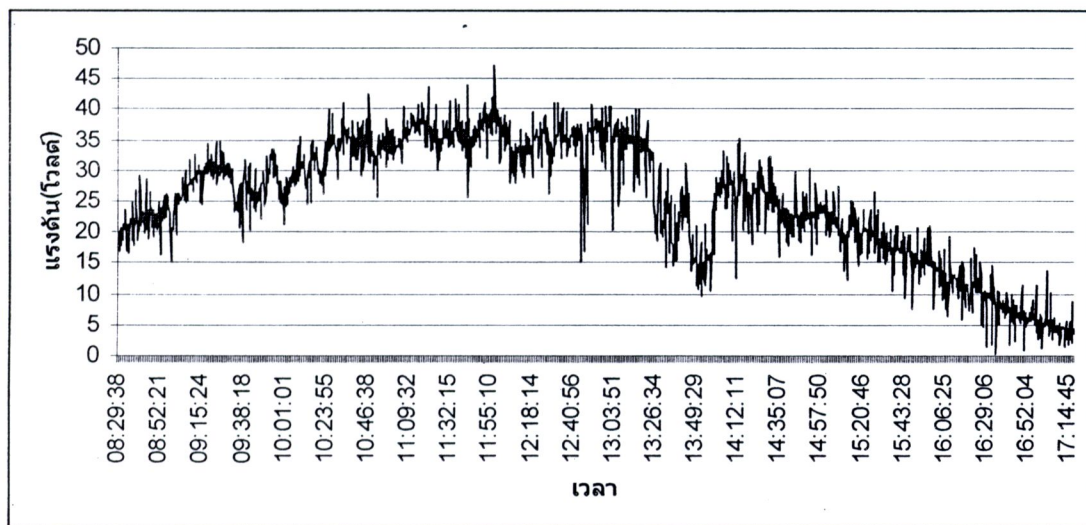
ภาพที่ ก.22 ผลการบันทึกแรงดันเซลล์แสงอาทิตย์แผงที่ 1 วันที่ 11 กุมภาพันธ์ 2553



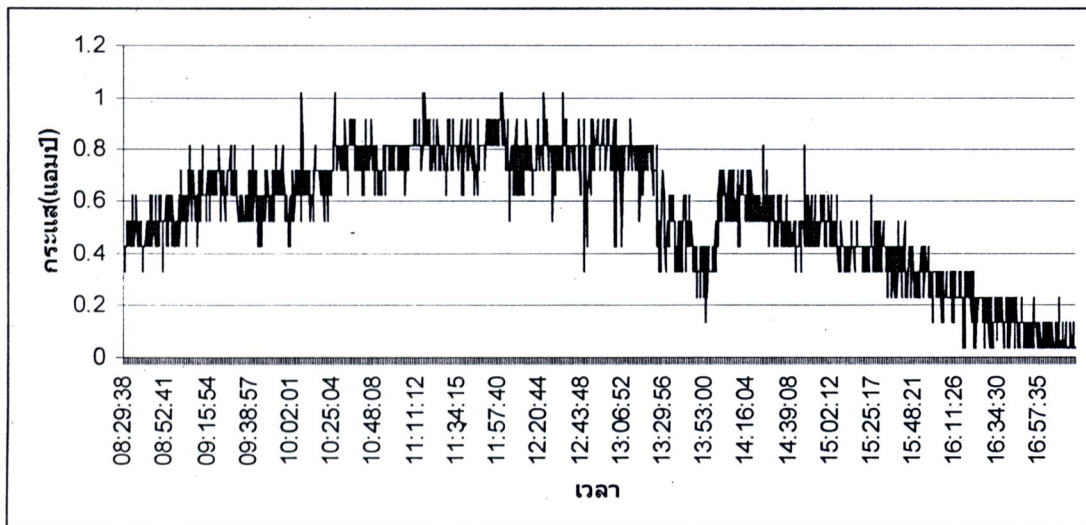
ภาพที่ ก.23 ผลการบันทึกกระแสเชลล์แสดงอาทิตย์ແຜท 1 วันที่ 11 กุมภาพันธ์ 2553



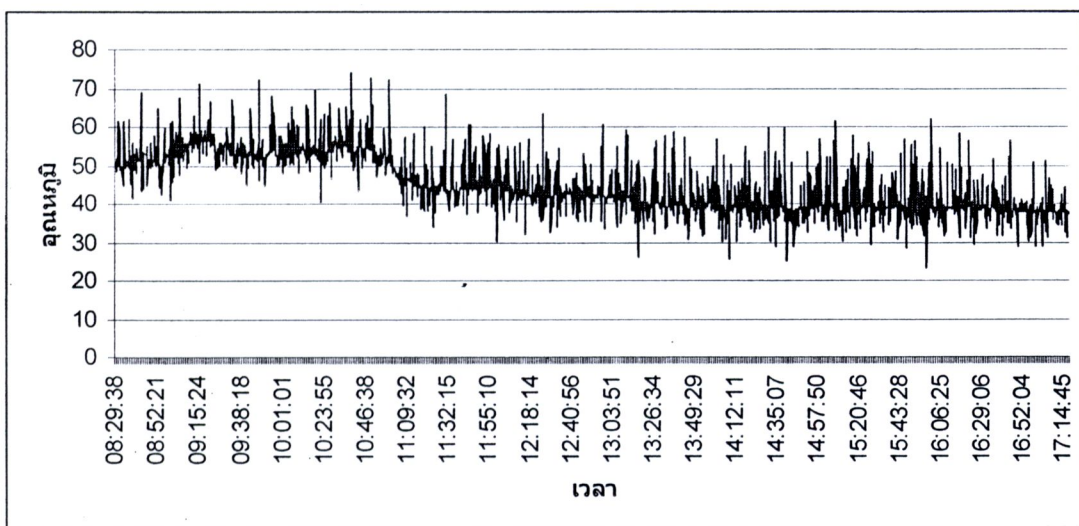
ภาพที่ ก.24 ผลการบันทึกแรงดันเชลล์แสดงอาทิตย์ແຜท 1 วันที่ 11 กุมภาพันธ์ 2553



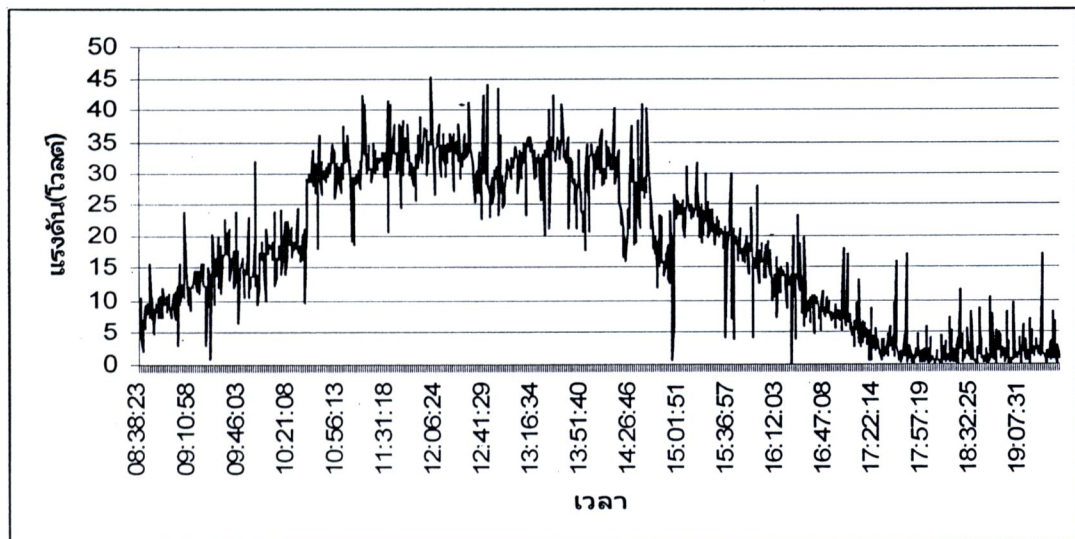
ภาพที่ ก.25 ผลการบันทึกแรงดันเซลล์เสงอาทิตย์แพงที่ 1 วันที่ 22 กุมภาพันธ์ 2553



ภาพที่ ก.26 ผลการบันทึกกระแสเซลล์เสงอาทิตย์แพงที่ 1 วันที่ 22 กุมภาพันธ์ 2553

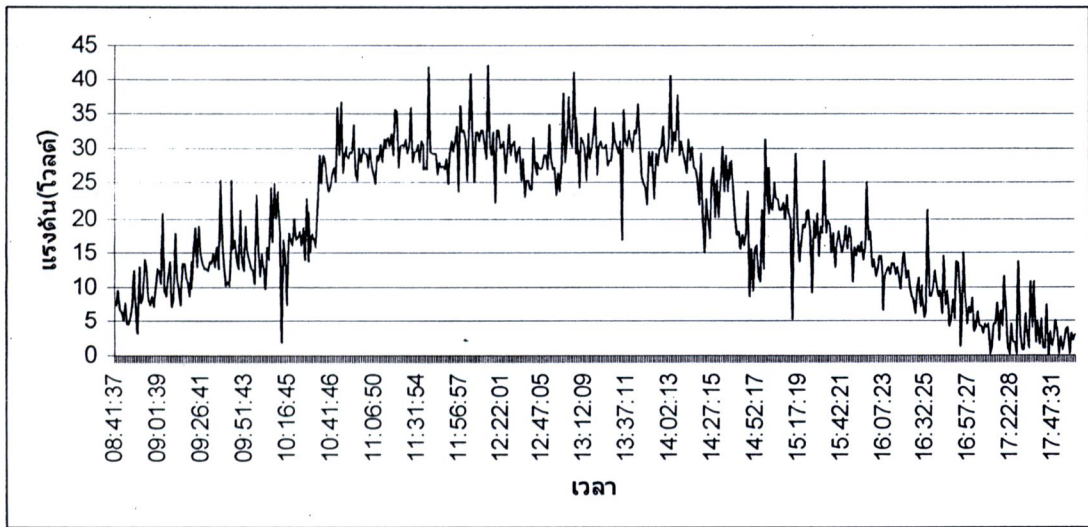
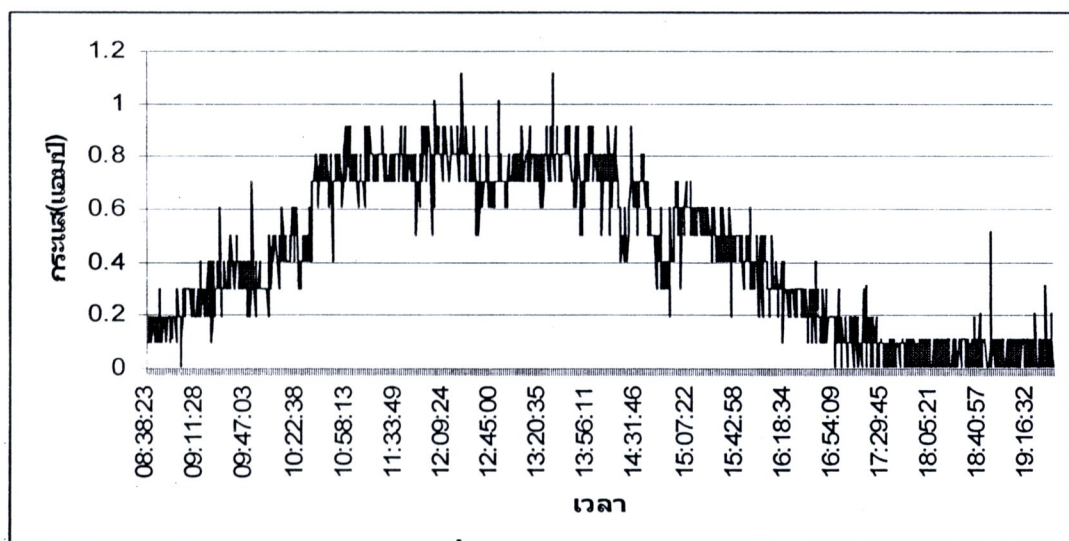


ภาพที่ ก.27 ผลการบันทึกอุณหภูมิเซลล์แสงอาทิตย์แผงที่ 1 วันที่ 22 กุมภาพันธ์ 2553

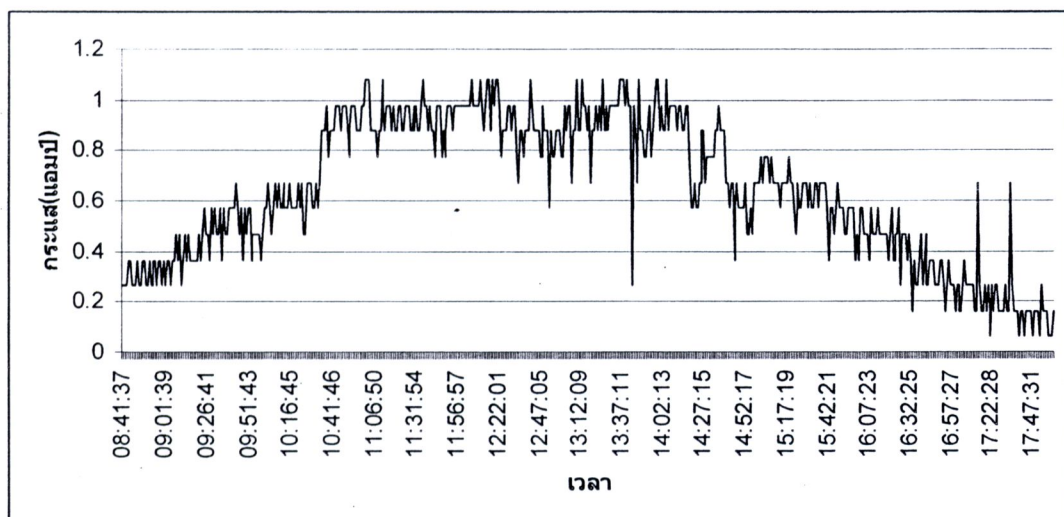


ภาพที่ ก.28 ผลการบันทึกแรงดันเซลล์แสงอาทิตย์แผงที่ 1 วันที่ 27 เมษายน 2553

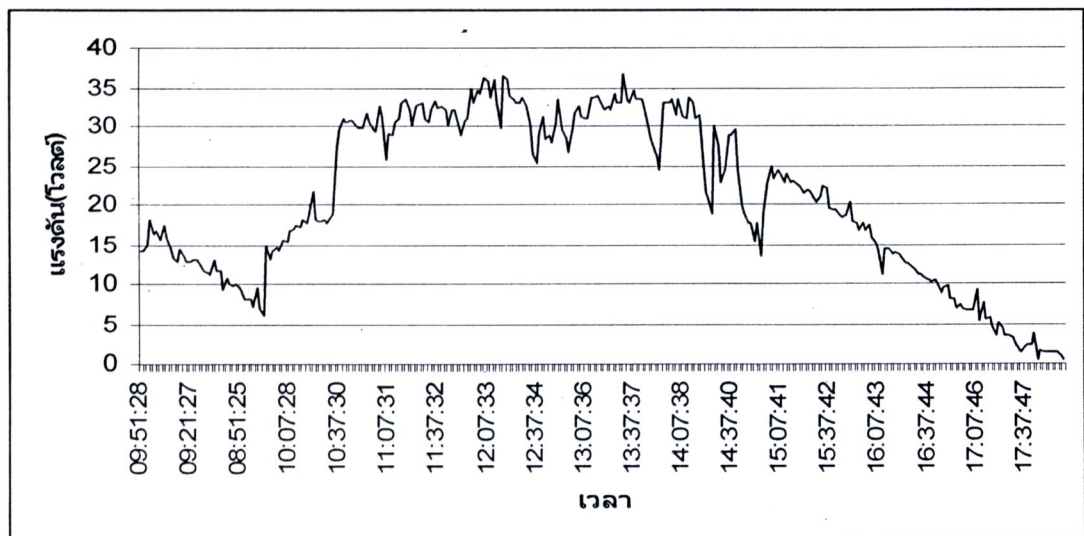
ฐานข้อมูล DATA 1



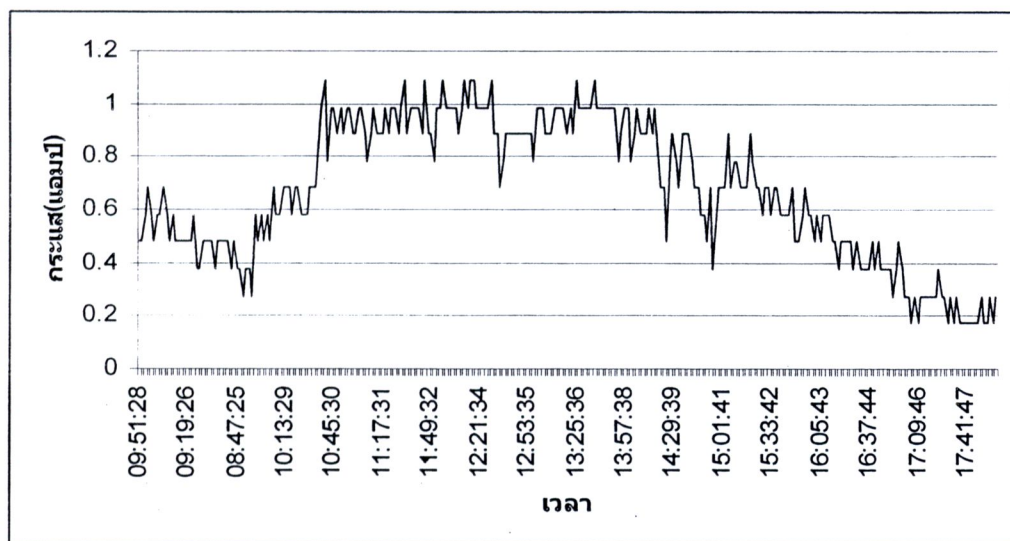
กราฟที่ ก.30 ผลการบันทึกแรงดันเซลล์แสงอาทิตย์แผงที่ 2 วันที่ 27 เมษายน 2553
ฐานข้อมูล DATA 2



ภาพที่ ก.31 ผลการบันทึกกระแสเซลล์แสงอาทิตย์แผงที่ 2 วันที่ 27 เมษายน 2553
ฐานข้อมูล DATA 2



ภาพที่ ก.32 ผลการบันทึกแรงดันเซลล์แสงอาทิตย์แผงที่ 1 วันที่ 27 เมษายน 2553
ฐานข้อมูล DATA 3



ภาพที่ ก.31 ผลการบันทึกกระแสเซลล์แสงอาทิตย์แผงที่ 1 วันที่ 27 เมษายน 2553

ภาคผนวก ข
DATASHEET ของอุปกรณ์ไอซี



ACS712

Fully Integrated, Hall Effect-Based Linear Current Sensor with 2.1 kVRMS Voltage Isolation and a Low-Resistance Current Conductor

Features and Benefits

- Low-noise analog signal path
- Device bandwidth is set via the new FILTER pin
- 5 μ s output rise time in response to step input current
- 80 kHz bandwidth
- Total output error 1.5% at $T_A = 25^\circ\text{C}$
- Small footprint, low-profile SOIC8 package
- 1.2 m Ω internal conductor resistance
- 2.1 kV_{RMS} minimum isolation voltage from pins 1-4 to pins 5-8
- 5.0 V, single supply operation
- 66 to 185 mV/A output sensitivity
- Output voltage proportional to AC or DC currents
- Factory-trimmed for accuracy
- Extremely stable output offset voltage
- Nearly zero magnetic hysteresis
- Ratiometric output from supply voltage



TOV America
Certificate Number:
UBV 06 05 S4214 010



Package: 8 Lead SOIC (suffix LC)



Approximate Scale 1:1

Description

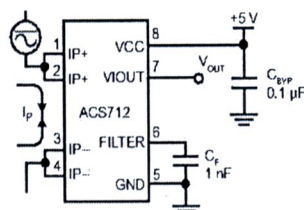
The Allegro® ACS712 provides economical and precise solutions for AC or DC current sensing in industrial, commercial, and communications systems. The device package allows for easy implementation by the customer. Typical applications include motor control, load detection and management, switched-mode power supplies, and overcurrent fault protection.

The device consists of a precise, low-offset, linear Hall sensor circuit with a copper conduction path located near the surface of the die. Applied current flowing through this copper conduction path generates a magnetic field which is sensed by the integrated Hall IC and converted into a proportional voltage. Device accuracy is optimized through the close proximity of the magnetic signal to the Hall transducer. A precise, proportional voltage is provided by the low-offset, chopper-stabilized BiCMOS Hall IC, which is programmed for accuracy after packaging.

The output of the device has a positive slope ($>V_{IOUT(Q)}$) when an increasing current flows through the primary copper conduction path (from pins 1 and 2, to pins 3 and 4), which is the path used for current sensing. The internal resistance of this conductive path is 1.2 m Ω typical, providing low power

Continued on the next page...

Typical Application



Application 1. The ACS712 outputs an analog signal, V_{OUT} , that varies linearly with the uni- or bi-directional AC or DC primary sensed current, I_P , within the range specified. C_F is recommended for noise management, with values that depend on the application.

**LM35/LM35A/LM35C/LM35CA/LM35D
Precision Centigrade Temperature Sensors**



December 1994

LM35/LM35A/LM35C/LM35CA/LM35D Precision Centigrade Temperature Sensors

General Description

The LM35 series are precision integrated-circuit temperature sensors, whose output voltage is linearly proportional to the Celsius (Centigrade) temperature. The LM35 thus has an advantage over linear temperature sensors calibrated in ° Kelvin, as the user is not required to subtract a large constant voltage from its output to obtain convenient Centigrade scaling. The LM35 does not require any external calibration or trimming to provide typical accuracies of $\pm \frac{1}{4}^{\circ}\text{C}$ at room temperature and $\pm \frac{3}{4}^{\circ}\text{C}$ over a full -55°C to $+150^{\circ}\text{C}$ temperature range. Low cost is assured by trimming and calibration at the wafer level. The LM35's low output impedance, linear output, and precise inherent calibration make interfacing to readout or control circuitry especially easy. It can be used with single power supplies, or with plus and minus supplies. As it draws only $60\ \mu\text{A}$ from its supply, it has very low self-heating, less than 0.1°C in still air. The LM35 is rated to operate over a -55° to $+150^{\circ}\text{C}$ temperature range, while the LM35C is rated for a -40° to $+110^{\circ}\text{C}$ range (-10° with improved accuracy). The LM35 series is

available packaged in hermetic TO-46 transistor packages, while the LM35C, LM35CA, and LM35D are also available in the plastic TO-92 transistor package. The LM35D is also available in an 8-lead surface mount small outline package and a plastic TO-202 package.

Features

- Calibrated directly in ° Celsius (Centigrade)
- Linear + $10.0\ \text{mV}/^{\circ}\text{C}$ scale factor
- $\pm 0.5^{\circ}\text{C}$ accuracy guaranteed (at $+25^{\circ}\text{C}$)
- Rated for full -55° to $+150^{\circ}\text{C}$ range
- Suitable for remote applications
- Low cost due to wafer-level trimming
- Operates from 4 to 30 volts
- Less than $60\ \mu\text{A}$ current drain
- Low self-heating, 0.08°C in still air
- Nonlinearity only $\pm \frac{1}{4}^{\circ}\text{C}$ typical
- Low impedance output, $0.1\ \Omega$ for 1 mA load

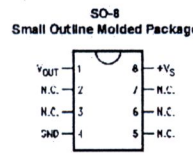
Connection Diagrams



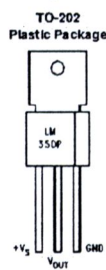
TO-46
Metal Can Package
Bottom View
TL/H/5516-1



TO-92
Plastic Package
Bottom View
TL/H/5516-2



SO-8
Small Outline Molded Package
Top View
N.C. = No Connection
TL/H/5516-21



TO-202
Plastic Package
TL/H/5516-24

Typical Applications

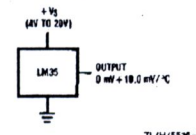
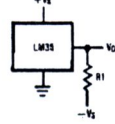


FIGURE 1. Basic Centigrade
Temperature
Sensor ($+2^{\circ}\text{C}$ to $+150^{\circ}\text{C}$)
TL/H/5516-3



Choose $R_1 = -V_{\text{out}}/50\ \mu\text{A}$
 $V_{\text{out}} = +1,500\ \text{mV}$ at $+150^{\circ}\text{C}$
= $+250\ \text{mV}$ at $+25^{\circ}\text{C}$
= $-550\ \text{mV}$ at -55°C
FIGURE 2. Full-Range Centigrade
Temperature Sensor
TL/H/5516-4

TRI-STATE® is a registered trademark of National Semiconductor Corporation.

©1995 National Semiconductor Corporation TL/H/5516

PNP-830M75/P/N in U.S.A.

ภาคผนวก ค
DATASHEET LM35



December 1994

LM35/LM35A/LM35C/LM35CA/LM35D Precision Centigrade Temperature Sensors

General Description

The LM35 series are precision integrated-circuit temperature sensors, whose output voltage is linearly proportional to the Celsius (Centigrade) temperature. The LM35 thus has an advantage over linear temperature sensors calibrated in Kelvin, as the user is not required to subtract a large constant voltage from its output to obtain convenient Centigrade scaling. The LM35 does not require any external calibration or trimming to provide typical accuracies of $\pm \frac{1}{4}^{\circ}\text{C}$ at room temperature and $\pm \frac{1}{4}^{\circ}\text{C}$ over a full -55°C to $+150^{\circ}\text{C}$ temperature range. Low cost is assured by trimming and calibration at the wafer level. The LM35's low output impedance, linear output, and precise inherent calibration make interfacing to readout or control circuitry especially easy. It can be used with single power supplies, or with plus and minus supplies. As it draws only $60\ \mu\text{A}$ from its supply, it has very low self-heating, less than 0.1°C in still air. The LM35 is rated to operate over a -55° to $+150^{\circ}\text{C}$ temperature range, while the LM35C is rated for a -40° to $+110^{\circ}\text{C}$ range (-10° with improved accuracy). The LM35 series is

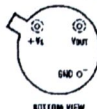
available packaged in hermetic TO-46 transistor packages, while the LM35C, LM35CA, and LM35D are also available in the plastic TO-92 transistor package. The LM35D is also available in an 8-lead surface mount small outline package and a plastic TO-202 package.

Features

- Calibrated directly in $^{\circ}\text{C}$ (Centigrade)
- Linear + $10.0\ \text{mV}/^{\circ}\text{C}$ scale factor
- 0.5°C accuracy guaranteed (at $+25^{\circ}\text{C}$)
- Rated for full -55° to $+150^{\circ}\text{C}$ range
- Suitable for remote applications
- Low cost due to wafer-level trimming
- Operates from 4 to 30 volts
- Less than $60\ \mu\text{A}$ current drain
- Low self-heating, 0.08°C in still air
- Nonlinearity only $\pm \frac{1}{4}^{\circ}\text{C}$ typical
- Low impedance output, $0.1\ \Omega$ for 1 mA load

Connection Diagrams

TO-46
Metal Can Package*



TL/H/5516-1

*Case is connected to negative pin (GND)

Order Number LM35H, LM35AH,
LM35CH, LM35CAH or LM35DH
See NS Package Number H03H

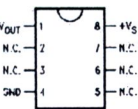
TO-92
Plastic Package



TL/H/5516-2

Order Number LM35CZ,
LM35CAZ or LM35DZ
See NS Package Number Z03A

SO-8
Small Outline Molded Package



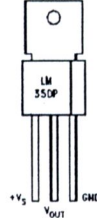
TL/H/5516-21

Top View

N.C. = No Connection

Order Number LM35DM
See NS Package Number M08A

TO-202
Plastic Package



TL/H/5516-24

Order Number LM35DP
See NS Package Number P03A

Typical Applications

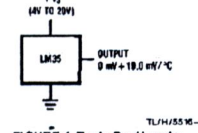


FIGURE 1. Basic Centigrade
Temperature Sensor ($+2^{\circ}\text{C}$ to $+150^{\circ}\text{C}$)

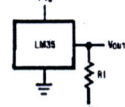


FIGURE 2. Full-Range Centigrade
Temperature Sensor

Choose $R_1 = -V_S/50\ \mu\text{A}$

- $V_{\text{OUT}} = +1,500\ \text{mV}$ at $+150^{\circ}\text{C}$
- $+250\ \text{mV}$ at $+25^{\circ}\text{C}$
- $-550\ \text{mV}$ at -55°C

TRISTATE® is a registered trademark of National Semiconductor Corporation.

©1995 National Semiconductor Corporation TL/H/5516

P/N:800M75/Printedin U.S.A.

**LM35/LM35A/LM35C/LM35CA/LM35D
Precision Centigrade Temperature Sensors**

การเผยแพร่วิทยานิพนธ์



The 6th National Conference on Computing and Information Technology
Eastin Hotel, Makkasan, Bangkok, THAILAND

Dear Wuttikai Jamratnaw, Panhathai Buasri, and Kittipong Tonmitr:

Congratulations!

This is an official letter to inform you that your paper ID: NCCIT2010-55 entitled: "Data Recording System for the Photovoltaic Modules through Intranet" has been ACCEPTED for ORAL presentation at the NCCIT2010.

Information of NCCIT2010 are available on the conference web site <http://www.nccit.net> and more will come very soon. The conference information will be updated shortly to include the full technical program.

CRITICAL INFORMATION: At least one author MUST REGISTER for the conference by May 7, 2010 for EARLY BIRD Registration (4,000 Baht) or by May 17, 2010 for REGULAR Registration (4,500 Baht). Note that ONE regular registration will cover only ONE paper. Failure to have one such registration will result in removal of the paper from the Technical Program.

Additionally, the paper MUST be presented at the conference by one of the authors.

For your oral presentation, you must prepare PowerPoint slides to present your work to the audiences about 20 minutes (15-17 min talk and 3-5 min for questions).

We look forward to welcoming you on 3-5 June 2010 at NCCIT2010, Eastin Makkasan Hotel, Bangkok, Thailand.

Sincerely,

A handwritten signature in black ink, appearing to read "Dr. Monchai Tiantong".

Associate Professor Dr. Monchai Tiantong
NCCIT2010 Chair
nccit2010@gmail.com, monchai@kmutnb.ac.th
<http://www.nccit.net>



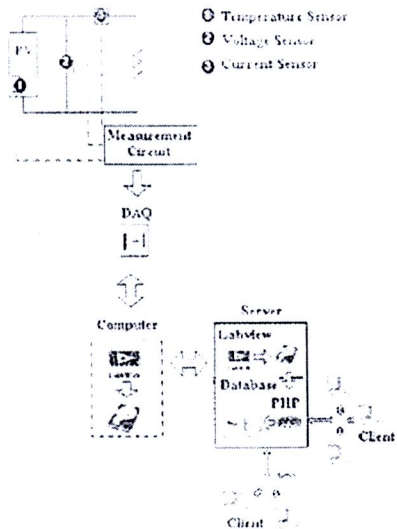
จะสามารถรับเรื่องร้องเรียนของผู้ใช้บริการได้โดยตรงและดำเนินการแก้ไขอย่างรวดเร็วโดยไม่ต้องผ่านบุคลากรที่มีอำนาจหน้าที่ ทำให้เกิดความสัมภัยในผู้ใช้บริการมากขึ้น แต่ในส่วนของการบันทึกข้อมูลดูแลเรื่องของผู้ใช้บริการนั้น ยังคงต้องมีบุคลากรที่มีอำนาจหน้าที่ดำเนินการบันทึกข้อมูลลง MySQL ซึ่งเป็นการทำงานที่ใช้เวลาและแรงงานมาก ทำให้เกิดความล่าช้าและลดประสิทธิภาพการทำงาน จึงต้องหาทางออกที่ดีกว่า จึงได้คิดค้นระบบฐานข้อมูลที่สามารถบันทึกข้อมูลโดยอัตโนมัติ ไม่ต้องผ่านบุคลากรใดๆ ก็ได้ ทำให้สามารถลดเวลาและลดต้นทุนลงได้ จึงได้คิดค้นระบบฐานข้อมูลที่สามารถบันทึกข้อมูลโดยอัตโนมัติ ที่ชื่อว่า MySQL

2. ทฤษฎีและการออกแบบ

ในส่วนนี้ ได้พยายามใช้เครื่องมือในการออกแบบ ที่มีอยู่ในท้องตลาด ที่สามารถช่วยให้เราสามารถออกแบบได้โดยง่าย ไม่ต้องเสียเวลาและแรงงานในการเขียนโปรแกรม จึงได้คิดค้นระบบฐานข้อมูลที่สามารถบันทึกข้อมูลโดยอัตโนมัติ ที่ชื่อว่า MySQL

2.1 หลักการและเดินทาง

หลักการและเดินทางของ MySQL คือเป็นภาษา C ที่สามารถเขียนและอ่านข้อมูลได้โดยตรง ไม่ต้องผ่านผู้ใช้เครื่องคอมพิวเตอร์ แต่จะมีการบันทึกข้อมูลในไฟล์ที่มีนามสกุล .myd และ .myi ซึ่งเป็นไฟล์เดียว (Monolithic) หรือหลายไฟล์ (Poly-crystalline) หรือแบบไม่แน่นอน (Amorphous) ให้บันทึกข้อมูลและรีเฟรชข้อมูลได้เร็ว ไม่ต้องผ่านผู้ใช้เครื่องคอมพิวเตอร์ ตาม BS-40 ของบริษัทบ้านผลิต ให้สามารถอ่านและเขียนข้อมูลได้ 6-10 ครั้งต่อวินาที คุณสมบัติของ MySQL คือสามารถบันทึกข้อมูลได้เร็วและมีความแม่นยำ จึงสามารถใช้ในส่วนของการบันทึกข้อมูลของผู้ใช้บริการได้



ภาพที่ 1. รากฐานของระบบฐานข้อมูลที่ใช้ MySQL

ภาพที่ 2: ขนาดพื้นที่ที่ต้องการสำหรับ BS-40 ที่ต้องการเดินทาง

รายการ	จำนวน
พื้นที่ที่ต้องการ	40 m²
พื้นที่ที่ต้องการ	0.90 Amp
พื้นที่ที่ต้องการ	1.16 Amp
พื้นที่	635x1245 mm x 300

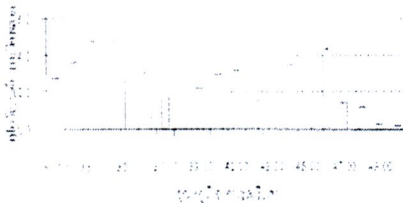
* พื้นที่ที่ต้องการสำหรับ BS-40 ที่ต้องการเดินทาง SIC = 1,000 ที่ต้องการเดินทางที่ต้องการ 23 ลูกศร ที่ต้องการเดินทาง 1.8



រូបថត៖ សោគារមិនអាចចូលរំលែកទេ ឡើងទៅសម្រាប់ដែង
បានវិនិយោគ



រូបថត៖ សោគារមិនអាចចូលរំលែកទេ ឡើងទៅសម្រាប់ដែង
បានវិនិយោគ



រូបថត៖ សោគារមិនអាចចូលរំលែកទេ ឡើងទៅសម្រាប់ដែង
បានវិនិយោគ

ការបន្ថែមថា បានដោះស្រាយក្នុងវិសាទភាពមិន
អាចចូលរំលែកទេ ម៉ោង Hewlett-Packard រូ 974 A.

សោគារមិនអាចចូលរំលែកទេ ឡើងទៅសម្រាប់ដែង
បានវិនិយោគ នៅពេលដែងក្នុងមិនបាន
បន្ថែមថា បានដោះស្រាយក្នុងវិសាទភាពមិន
អាចចូលរំលែកទេ ឡើងទៅសម្រាប់ដែង
បានវិនិយោគ រួចរាល់ទៅស្ថិតិថ្មីរបស់វិសាទភាពមិន
អាចចូលរំលែកទេ ឡើងទៅសម្រាប់ដែង
បានវិនិយោគ 5%.

2.2 សោគារមិនអាចចូលរំលែកទេ ឡើងទៅសម្រាប់ ដែងបានវិនិយោគ

បានដោះស្រាយក្នុងវិសាទភាពមិនអាចចូលរំលែកទេ
ឡើងទៅសម្រាប់ដែងបានវិនិយោគ ដើម្បីត្រូវពិនិត្យបញ្ជី
បញ្ជីទាំងអស់នៃសោគារមិនអាចចូលរំលែកទេ

2.2.1 សោគារមិនអាចចូលរំលែកទេ ឡើងទៅសម្រាប់

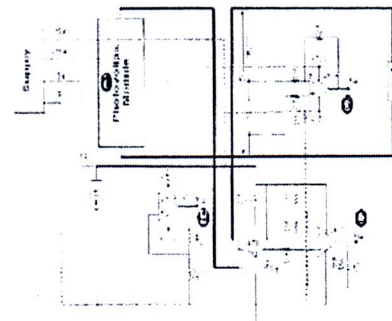
សោគារមិនអាចចូលរំលែកទេ ឡើងទៅសម្រាប់ដែង
បានវិនិយោគ ហើយចុចក្ចុមដែលត្រូវបានដែង

(1) តាមរយៈបន្តរី តាមក្រុមចំណេះដែនដោ ក្នុង
ACS 41[7] តាមតម្លៃបានលើក 5 A តាមតម្លៃបាន
លើក 102 mV/A នៅពេលការការពារ នៅលើ 5 V នៃបង្ហាញ 28 ទឺនដែលដែនដោ

(2) តាមរយៈបន្តរី តាមក្រុមចំណេះដែនដោ ក្នុង
អេនីឌីអីលី តាមក្រុមចំណេះដែនដោ ក្នុង
ទីសាស្ត្រ នៅក្នុងមិនបានជិត នៃតាមរយៈបន្តរី តាមក្រុមចំណេះដែនដោ

(3) តាមក្រុមចំណេះដែនដោ ក្នុងលី និងក្រុមចំណេះដែនដោ ក្នុង
អេនីឌីអីលី តាមក្រុមចំណេះដែនដោ ក្នុង
តាមតម្លៃបានលើក 0.1Ω

នៅពេលដែលបានឈើចិត្តខ្លះ នៅពេលដែលបានឈើចិត្តនូវការ
ដែលបានរាយចក្ខុវិក នៅពេលដែលបានឈើចិត្ត។



រូបថត៖ សោគារមិនអាចចូលរំលែកទេ ឡើងទៅសម្រាប់

រូបថត៖ សោគារមិនអាចចូលរំលែកទេ ឡើងទៅសម្រាប់

ការបន្ថែម	Current	Voltage	Temperature
Sensor 0	Sensor	Sensor	Sensor
Maxwell	3.20%	2.54%	4.86%
Minimum	1.22%	0.07%	0.20%
Average	1.35%	0.0%	2.64%

2.2.2 បានដោះស្រាយក្នុងវិសាទភាពមិនអាចចូលរំលែកទេ (A/D)

បានដោះស្រាយក្នុងវិសាទភាពមិនអាចចូលរំលែកទេ ឡើងទៅសម្រាប់ដែង
បានវិនិយោគ តាមបន្ទាន់បានរាយចក្ខុវិក នៃតាមរយៈបន្តរី តាមក្រុមចំណេះដែនដោ

电压,即 +5 V 电源,由市售的 9V 干电池提供。另外 NI 6008 A/D board (由 National Instruments 提供) 具备 8 通道的单端输入功能,可将单端输入电压转换为数字信号。NI 6008 有 8 个通道,采样率为 12 bit/s,采样精度为 12 bit,采样频率范围为 1 Hz 到 10.48 s,满量程输出电压为 ±10 V。数据采集部分使用 NI 6008 A/D board,通过串行通信线与 LabVIEW 程序连接,从而完成数据采集。图 2.3.1 所示为 NI 6008 A/D board 的接线图。

2.3 测量与控制模块

2.3.1 采集模块 Labview

采集模块 Labview[11] 是利用 NI 提供的数据采集库采集 A/D board 采集的数据并将其显示在 Labview 中。如图 2.3.1 所示为 Labview 程序框图,该程序框图中包含一个 while loop 循环,循环体中包含一个 While loop,该 loop 从 DAQ Assistant 中读取采样数据并将其存入一个名为 Sample 的全局变量中。当循环体运行完成后,将 Sample 变量中的数据存入一个名为 Sample 的文本文件中,该文件的保存路径为 C:\AppServ\www\。之后,将该文本文件读入一个名为 Read 的函数中,该函数将文本文件中的每一行作为一个字符串读出,并将其存入一个名为 Data 的全局变量中。全局变量 Data 为一个一维数组,其元素为采样点。之后,将 Data 变量中的每一个采样点存入一个名为 Sample 的文本文件中,该文件的保存路径为 C:\AppServ\www\。之后,将该文本文件读入一个名为 Read 的函数中,该函数将文本文件中的每一行作为一个字符串读出,并将其存入一个名为 Data 的全局变量中。全局变量 Data 为一个一维数组,其元素为采样点。

2.3.2 控制模块 PHP

PHP 语言模块主要负责接收前端发送过来的数据,并将这些数据插入到 MySQL 数据库中。MySQL 是一个开源的、关系型数据库管理系统,广泛应用于 Web 应用程序。

2.4 硬件设计与实现

2.4.1 电源模块设计

```
$conn = mysql_connect("localhost","root","0912") or die("Can't connect to MySQL database");
mysql_select_db("solarcell");
if(!($db=mysql_select_db("solarcell"))){echo "Can't select database";}
```

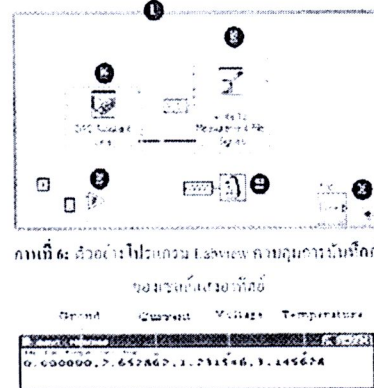


图 2.3.1 采集模块 Labview 程序框图

2.4.2 电源模块设计

```
(2) 读取文件并将其存入数组
$data = file("data.txt");
foreach ($data as $value) {
    $value = explode(" ",$value);
}
(3) 计算总电压
$current=abs($value[1]-2.526)*9.738;
$volt=abs($value[2]*8.056);
$temp=abs($value[3]*10.031);
(4) 将值插入数据库
$sql = "INSERT INTO SLR1 (id,data,time,V,L,I)
        VALUES (now()),($volt,$current,$temp,$I)";
$result = mysql_query($sql,$insert);
```


4. ผลการทดลอง

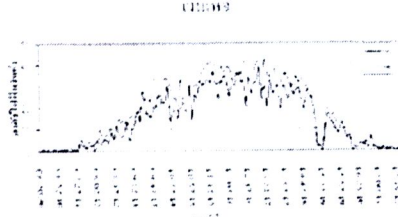
ผลการทดลองที่ได้รับมา ทดสอบวันที่ 18 เมษายน 2553 ช่วงเวลา 6.20-17.30 น. แสดงผลลัพธ์ที่ดีอยู่ในสูตรได้ถูกติดตั้งไว้แล้วที่บ้านที่ 30 บ้านเดียวกัน ล้วน ลูกบ้านที่ติดตั้งได้สำเร็จแล้วที่บ้านที่ 11-12 บ้านเดียวกัน ให้มีไฟฟ้าอยู่ที่บ้านที่ 13



ภาพที่ 11: การต่อตัวจ่ายไฟฟ้าแสงอาทิตย์ที่บ้านที่ 13



ภาพที่ 12: ตารางแสดงอัตราการไหลของกระแสไฟฟ้าที่บ้านที่ 13



ภาพที่ 13: ตารางแสดงอัตราการดึงของไฟฟ้าที่บ้านที่ 13 เมษายน 2553

5. สรุป

ผลการทดลองที่ได้รับมา ทดสอบวันที่ 18 เมษายน 2553 ช่วงเวลา 6.20-17.30 น. แสดงผลลัพธ์ที่ดีอยู่ในสูตรได้ถูกติดตั้งไว้แล้วที่บ้านที่ 30 บ้านเดียวกัน ล้วน ลูกบ้านที่ติดตั้งได้สำเร็จแล้วที่บ้านที่ 11-12 บ้านเดียวกัน ให้มีไฟฟ้าอยู่ที่บ้านที่ 13

เอกสารอ้างอิง

- [1] Y. P. Gupta, S.K.Yeung, *Design handbook for photovoltaic power systems*, Sandia National Laboratory, Virginia, USA, Contract DE-AC04-94DP00089, 1991.
- [2] Jan Machacek, Z. Prochazka, Jiri Drapela, "System for measuring and collecting data from solar-cell systems", 9th international conference On Electrical Power Quality and Utilisation,Barcelona, Spain, October, 2007.
- [3] Bangkok solar Co., Ltd., *Renewable Energy Photovoltaic Modules*, SS26120, <http://www.eclarus-solar.com>, pp.1-2, 2007.
- [4] Eclarus Solar Co., Ltd., *Technical Specification of BS-29*, <http://www.bangkoksolars.com>, pp.1-4, 2007.
- [5] A. Das, S.S. Deigan, "Implementation of streaming audio and video for online Web based courses using MySQL database server and PHP", *Proceedings of the IEEE Southcon 2009*, Tennessee, USA, April 9, 2009, pp.523 - 526.
- [6] J. Santos, J. Mendonca, J.C. Martins, "Instrumentation remote control through internet with PHP", *IEEE Virtual Environments, Human-Computer Interfaces and Measurement Symposium VEHCIAMS 2008*, Izmir, Turkish, July 14-16, 2008, pp. 41-43.
- [7] Allegro Micro System Inc., ACS712, <http://www.zigzagobotic.com/files/ACS712SpecSheet.pdf>, pp.1-13, 2007.
- [8] National Semiconductors, LM35, <http://www.national.com>, DS-LM35SS.pdf, pp. 1-3, 2009.
- [9] National Instruments, *User guide and specifications NI USB-6009*, <http://www.ni.com/pdf/manuals/731503.pdf>, pp.1-12, May, 2008.
- [10] National Instruments, *Getting Started with LabVIEW*, <http://www.ni.com/LABVIEW>, 2007.



ประวัติผู้เขียน

นายวุฒิไกร จำรัสแนว เกิดเมื่อวันที่ 9 ธันวาคม 2524 สำเร็จการศึกษาระดับปริญญาตรี จากภาควิชาวิศวกรรมไฟฟ้า คณะวิศวกรรมศาสตร์ มหาวิทยาลัยขอนแก่น เมื่อปี 2548 และในปีเดียวกัน เข้าศึกษาต่อระดับปริญญาโท สาขาวิศวกรรมไฟฟ้า คณะวิศวกรรมศาสตร์ มหาวิทยาลัยขอนแก่น ด้านพลังงานทดแทนโดยศึกษาเรื่องการบันทึกข้อมูลเซลล์แสงอาทิตย์

